催化与分离提纯技术

Pd/N-C 催化剂的制备及其催化脱氢偶联反应

曾 蓉1、钟燚超1、张慧颖1、那 兵1、王和荣2、丁顺民2*

(1. 东华理工大学 化学与材料学院,江西省聚合物微纳制造与器件重点实验室,江西 南昌 330013; 2. 南昌大学 化学化工学院,环境与能源催化江西省重点实验室,江西 南昌 330031)

摘要:以葡萄糖为碳源、硫脲为氮源,合成了氮掺杂碳载体(N-C),利用掺杂的氮原子作为作用位点与贵金属 钯纳米粒子(Pd NPs)相互作用,得到了负载 Pd 纳米粒子的 N-C(Pd/N-C)催化剂,将其用于硅烷与醇的脱氢 偶联反应,并推测了其催化硅烷和醇脱氢偶联反应的可能机理。采用 XRD、XPS、SEM、TEM、ICP-OES 和 GC-MS 对催化剂进行了结构和性能表征。结果表明,负载在载体上的 Pd NPs 分散均匀,粒径大小为(4.87±1.10) nm; Pd/N-C 中的 N 与 Pd NPs 相互作用能有效分散并稳定 Pd NPs。与 Pd/C 催化剂相比,Pd/N-C 催化剂具有良好的催化效果,N-C 载体对 Pd 催化剂的催化性能具有显著的促进作用,在 Pd/N-C 催化二苯基硅烷与甲醇的脱氢偶联反应 1 h 的条件下,二苯基硅烷转化率和二苯基二甲氧基硅烷的选择性均可达到 99%以上,催化剂循环使用 6 次后二苯基硅烷转化率仍达 92%以上,二苯基二甲氧基硅烷选择性达到 99%以上;此外,Pd/N-C 催化剂还具有优异的底物普适性。

关键词: 氮掺杂碳; 负载钯催化剂; 脱氢偶联反应; 硅烷; 醇; 催化技术

中图分类号: TQ426 文献标识码: A 文章编号: 1003-5214 (2025) 09-2022-07

Preparation of Pd/N-C catalyst and its catalytic dehydrogenation coupling reaction

ZENG Rong¹, ZHONG Yichao¹, ZHANG Huiying¹, NA Bing¹, WANG Herong², DING Shunmin^{2*}

(1. Jiangxi Province Key Laboratory of Polymer Micro/Nano Manufacturing and Devices, School of Materials and Chemistry Science, East China University of Science and Technology, Nanchang 330013, Jiangxi, China; 2. Key Laboratory of Jiangxi Province for Environment and Energy Catalysis, School of Chemistry and Chemical Engineering, Nanchang University, Nanchang 330031, Jiangxi, China)

Abstract: Nitrogen-doped carbon carrier (N-C) was synthesized using glucose as carbon source and thiourea as nitrogen source, of which the doped nitrogen atom interacted with palladium nanoparticles (Pd NPs) to obtain Pd/N-C catalyst. The Pd/N-C catalyst, characterized by XRD, XPS, SEM, TEM, ICP-OES, and GC-MS, was used in the dehydrogenation coupling reaction of silanes and alcohols, and the underlying mechanism was speculated. The results indicated that the Pd NPs, with a particle size of (4.87±1.10) nm, were uniformly dispersed on the carrier. The interaction between N in the N-C carrier and Pd NPs effectively dispersed and stabilized the Pd NPs. Compared with Pd/C catalyst, Pd/N-C catalyst displayed better catalytic performance, with N-C carrier exhibiting significant promotional effect on the catalytic performance of Pd catalyst. The Pd/N-C catalyst achieved a diphenylsilane conversion and diphenyldimethoxysilane selectivity of over 99% after 1 h for the dehydrogenative coupling reaction of diphenylsilane with methanol. The catalyst retained a conversion rate of over 92% after six cycles, and the final product, diphenyldimethoxysilane,

收稿日期: 2024-09-24; 定用日期: 2024-11-08; **DOI**: 10.13550/j.jxhg.20240729

基金项目: 国家自然科学基金项目(22002056, 22262022); 江西省自然科学基金-面上项目(20232BAB203013, 20232BAB203016); 江西省教育厅科学技术研究项目(GJJ210707); 江西省聚合物微纳制造与器件重点实验室开放基金项目(PMND202110); 东华理工大学博士科研启动基金项目(DHBK2019113)

作者简介: 曾 蓉 (1986—), 女, 博士, E-mail: zengrong@ecut.edu.cn。联系人: 丁顺民 (1987—), 男, 副教授, E-mail: sding@ncu.edu.cn。

achieved a selectivity of over 99%. In addition, Pd/N-C catalyst showed substrate versatility. **Key words:** nitrogen-doped carbon; supported palladium catalysts; dehydrogenation coupling reaction; silanes; alcohols; catalysis technology

硅醚是一类常见的化工产品,广泛应用于橡胶工业、电子器件、医疗器械等方面^[1-4]。它不仅可以合成聚硅氧烷,成为硅橡胶、硅油等有机硅产品的中间体^[5-6],还可以作为羟基保护剂,在醇硅烷化过程中进行羟基的保护,反应完成后进行再生^[7-8]。传统合成硅醚的方法是以卤硅烷为原料通过醇解反应制备^[9-10],如二苯基氯硅烷通过和醇反应生成二苯基烷氧基硅烷^[11-12],但该法会产生大量的酸水以及废盐,其处理过程增加了生产成本,造成了环境污染。

为契合环境友好型、原子经济型绿色化学理念,硅烷与醇催化脱氢偶联制备硅醚成为当前研究热点^[9]。应用于该反应的均相催化剂(如贵金属配合物)一般具有较高的催化活性^[13-15],但催化剂分离困难,难以循环使用,且催化过程中硅烷易自聚;而多相催化剂具有易于分离的优点。负载型贵金属纳米催化剂无疑是较佳的选择,由于载体的分散作用提高了贵金属的原子利用率,使其金属颗粒尺寸变小,暴露的活性位点相应增加,从而具备优异的脱氢偶联催化性能,但贵金属纳米粒子容易团聚,且金属颗粒易于从载体上脱落,影响其活性及循环稳定性^[16-19]。

本课题组前期的研究工作表明,通过调控载体的成分和结构可以增加催化剂的催化活性、稳定性以及循环使用寿命^[19-21]。其中,杂原子(如氮原子等)掺杂载体,能在载体中引入配位位点。利用配位位点与金属纳米粒子的相互作用,稳定金属纳米粒子,同时配位原子的存在会改变贵金属粒子的电子结构,从而改善相应的催化性能。前期工作中,利用咪唑功能化碱性多孔有机聚合物(POPs)作为载体,POPs上裸露的 N 原子能配位锚定 Pd 纳米粒子,起到分散 Pd NPs、提高催化剂活性和稳定性的作用,且碱性的氮位点能够有效活化醇羟基的一〇一H 键,但 POPs 催化剂骨架会部分溶解或发生溶胀^[21]。

碳材料作为稳定的载体,负载金属纳米粒子后制备的 Pd/C、Pt/C 等催化剂已被广泛应用。本文以葡萄糖和硫脲为原料,经高温焙烧法制备氮掺杂碳载体(N-C),然后利用 N-C 载体上的 N 通过配位作用负载 Pd 纳米粒子,制备了负载 Pd 纳米粒子的氮掺杂碳(Pd/N-C)催化剂,并用于硅烷与醇的脱氢偶联反应。通过催化剂中 N 元素促进 Pd 纳米粒子在载体中的固定和均匀分散,并且利用 N 的碱性活化反应底物中的醇,以期该催化剂能获得良好的催

化稳定性和活性。

1 实验部分

1.1 试剂与仪器

硫脲、乙酸钯、二苯基硅烷、二甲基苯基硅烷、 苯硅烷、十二烷, AR, 上海阿拉丁生化科技股份有 限公司;葡萄糖、硼氢化钠, AR, 国药集团化学试 剂有限公司;丙酮、无水甲醇、正丁醇、无水乙醇、 异丙醇, AR, 西陇科学股份有限公司;氩气、氮气 (体积分数 99.999%), 江竹特种气体有限公司;去 离子水,自制。

Nova Nano SEM-450 场发射扫描电子显微镜, 美国 FEI 公司; MSK-SFM-1 球磨机, 合肥科晶材料 有限公司; GC7890B-MS5977 气相色谱-质谱联用 仪、Agilent 720ES (OES) 电感耦合等离子体发射 光谱仪, 美国 Agilent 科技有限公司; Bruker D8 Advance X 射线衍射仪 (XRD), 德国 Bruker 公司; Thermo Scientific K-Alpha X 射线光电子能谱仪 (XPS), 美国 Thermo Fisher 科技公司; JEM-2100 透射电子显微镜, 日本 JEOL。

1.2 方法

1.2.1 氮掺杂碳载体的制备

将 5 g (27.8 mmol)葡萄糖和 2 g (26.3 mmol) 硫脲溶解于 10 mL 去离子水中,经-50 ℃冷冻干燥 24 h,得到混合均匀的葡萄糖和硫脲的混合物。将上述混合物放入管式炉中,在氩气氛围下,以10 ℃/min 的升温速率从室温升至 550 ℃,保温 1 h,自然降温至室温后取出,并使用球磨机以 30 Hz/s 球磨 20 min,将上述材料磨成粉末,得到氮掺杂碳(N-C)载体。采用上述相同的制备方法,原料只加入葡萄糖,不加硫脲,制成的载体标记为无氮掺杂碳(C)载体。

1.2.2 负载 Pd 催化剂的制备

首先,将 250 mg 碳载体加入 10 mL 去离子水中超声(2.40 kHz)分散 10 min 后,在 5 ℃冰水浴下搅拌得到碳载体悬浮液,待用。将 10.5 mg (0.047 mmol)乙酸钯溶于 5 mL 丙酮中,得黄色溶液,并保持在 5 ℃左右,待用。然后,在 5 ℃冰水浴中,将上述乙酸钯溶液缓慢地滴加到载体悬浮液中,搅拌反应 5 h;接着,将 5 mL 质量浓度为0.02 g/mL(2.6 mmol)的硼氢化钠溶液缓慢滴加入上述混合溶液中,并搅拌反应 2 h。将反应后的溶液

进行过滤、水洗、经-50 ℃冷冻干燥 24 h,最后得到 黑色粉末,即为多相负载催化剂。以 N-C 或 C 为载 体制成的催化剂分别标记为 Pd/N-C 或 Pd/C 催化剂。

1.3 结构表征与性能测试

SEM 测试: 样品表面喷金,电子束加速电压 $10 \, kV$,工作距离 $4.6 \, mm$ 。TEM 测试: $200 \, kV$ 加速电压下测试。XRD 测试: 将粉末状样品放入 X 射线衍射仪中进行分析, $2\theta=5^\circ \sim 80^\circ$,扫速为 $5(^\circ)$ /min。XPS 测试: 激发源为 $A1 \, K_\alpha$ 射线($hv=1486.6 \, eV$),光斑大小为 $400 \, \mu m$,工作电压 $12 \, kV$,灯丝电流 $6 \, mA$;全谱扫描通能为 $150 \, eV$,步长 $1 \, eV$;窄谱扫描通能为 $50 \, eV$,步长 $0.1 \, eV$ 。ICP-OES 测试: 定容体积为 $10 \, mL$,稀释倍数为 $20 \, eV$

活性测试:在氮气保护下,在 5 mL 装有回流 反应装置的反应瓶中,以 1.25 mmol 二苯基硅烷和 2 mL 甲醇的脱氢偶联反应为模型反应,在 5 mg 催 化剂或载体、60 ℃下反应一定时间,取部分反应液 过有机滤膜,采用 GC-MS 鉴定产物组成,以十二烷 为内标,通过 GC 定量分析取样时间点硅烷和硅醚, 根据公式(1)~(3)计算二甲基苯基硅烷的转化率、 二甲基苯基乙氧基硅烷的选择性和产率。

转化率/%=[1-
$$(A_2/B_2)/(A_1/B_1)$$
]×100 (1)

选择性/%=
$$C_1/(C_1+C_x)\times 100$$
 (2)

式中: A_1 为初始样品中二甲基苯基硅烷的峰面积; B_1 为初始样品中十二烷内标的峰面积; A_2 为取样时样品的二甲基苯基硅烷峰面积; B_2 为取样时样品的十二烷内标峰面积; C_1 为目标硅醚的峰面积; C_x 为除目标硅醚外其他产物的峰面积之和。

催化剂循环使用性能测试:按上述实验步骤,在 50 mL 装有回流反应装置的反应瓶中,加入 10 mmol 二苯基硅烷、16 mL 甲醇以及 40 mg Pd/N-C 催化剂,在 60 ℃下反应 6 h,然后对催化剂进行过滤、用无水乙醇洗涤 3 次并在 60 ℃下真空干燥 12 h,直接用作下一次反应的催化剂,考察其循环使用的稳定性。

底物拓展实验:选择不同的硅烷(二苯基硅烷、 二甲基苯基硅烷和苯硅烷)和醇(甲醇、乙醇、正丁醇 和异丙醇)进行底物拓展测试,探究催化剂的普适性。

2 结果与讨论

2.1 SEM 分析

图 1 为样品的 SEM 表征结果。由图 1a 可知, N-C 载体呈块状形貌特征。Pd/N-C 催化剂的形貌(图 1b)与 N-C 载体相似,呈块状形貌,说明 Pd 纳米粒子的负载并不会大幅改变催化剂的形貌。Pd/N-C的 EDS mapping 图表明(图 1c~f),催化剂表面均

匀地分散着 $C \setminus O \setminus N \setminus Pd$ 元素,证明催化剂中氮的掺杂和 Pd 负载均成功。

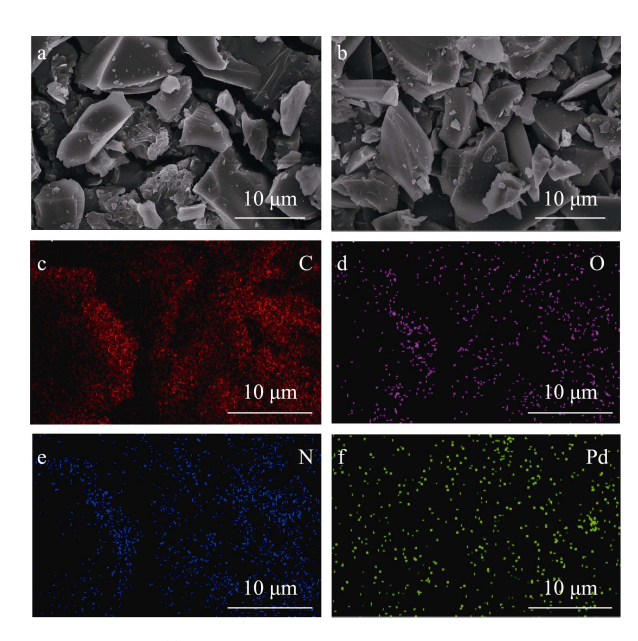
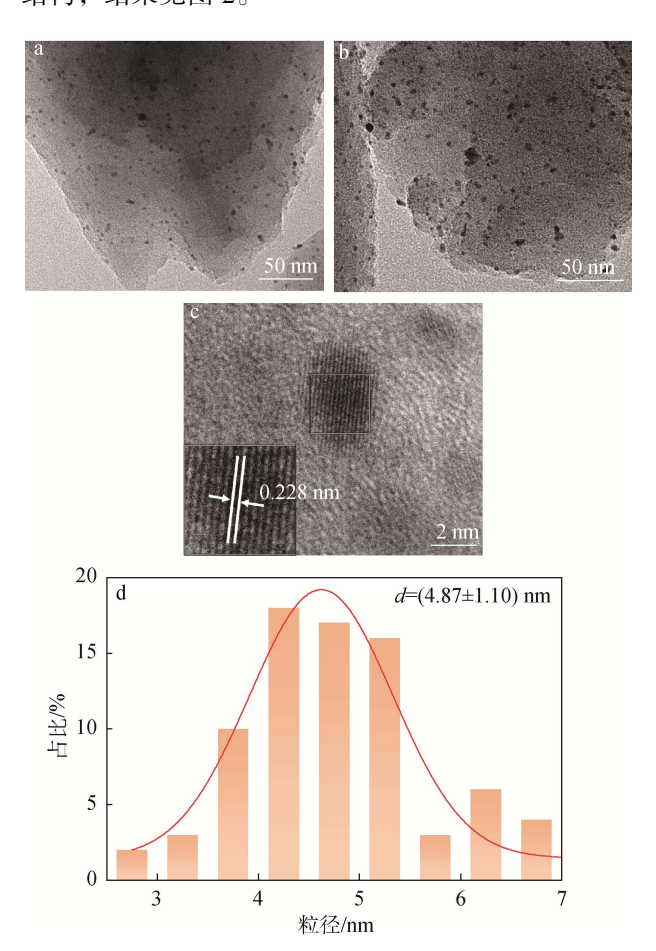


图 1 N-C 载体(a)和 Pd/N-C 催化剂(b)的 SEM 图及 Pd/N-C 催化剂的 EDS mapping 图

Fig. 1 SEM images of N-C carrier (a) and Pd/N-C catalyst (b); EDS mapping images of Pd/N-C catalyst

2.2 TEM 分析

通过 TEM 进一步测定了 Pd/N-C 催化剂的形貌结构,结果见图 2。



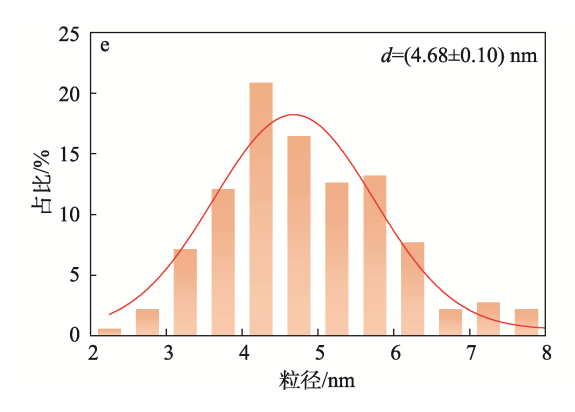


图 2 Pd/N-C(a)及 Pd/C(b)催化剂的 TEM 图和 Pd/N-C 的 HRTEM 图(c); Pd/N-C(d)及 Pd/C(e)催 化剂上的 Pd 纳米颗粒的粒径分布图

Fig. 2 TEM images of Pd/N-C (a) and Pd/C (b) catalysts and HRTEM image of Pd/N-C (c); Particle size distribution diagrams of Pd nanoparticles in Pd/N-C (d) and Pd/C (e) catalysts

由图 2a 可知, Pd NPs 在载体上的分布较为均匀,无明显团聚。从高分辨晶格图(图 2c)中看出,金属晶格条纹的间距为 0.228 nm,归属于 Pd (111)晶面。由 Pd/N-C 的 TEM 图统计的 Pd NPs 粒径分布图(图 2d)可知,催化剂中 Pd NPs 的粒径为(4.87±1.10) nm,粒径较小且较为集中。如图 2b、e 所示,Pd/C 催化剂上 Pd NPs 的分布也较为均匀,颗粒尺寸与 Pd/N-C 差别不大,平均粒径为(4.68±0.10) nm,表明两者活性差异不在 Pd 的颗粒尺寸上。

2.3 XRD 分析

通过 X 射线衍射技术对制备的样品进行结构分析和确认,结果如图 3 所示。由图 3 可知,C 载体、N-C 载体、Pd/C 和 Pd/N-C 样品在 2θ =26°处峰归属于无定形碳,而 2θ =39°处峰归属于金属 Pd(111)晶面的衍射峰(Pd 标准卡:PDF#87-0637),表明Pd NPs 成功负载在载体上[22-23]。催化剂的 ICP 测试结果见表 1。由表 1 可知,Pd/C 和 Pd/N-C 催化剂中Pd 的负载量(质量分数)分别为 0.98%和 0.96%,也说明 Pd 被成功负载。

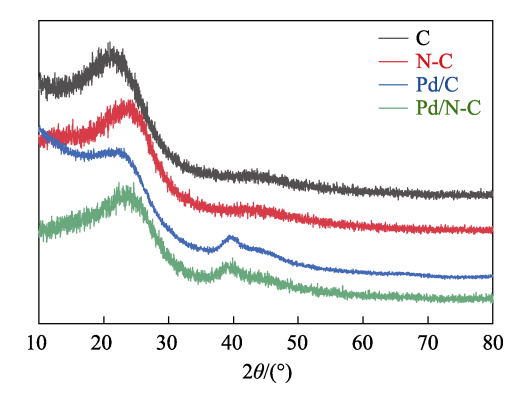


图 3 C、N-C、Pd/C 及 Pd/N-C 样品的 XRD 谱图 Fig. 3 XRD patterns of C, N-C, Pd/C and Pd/N-C samples

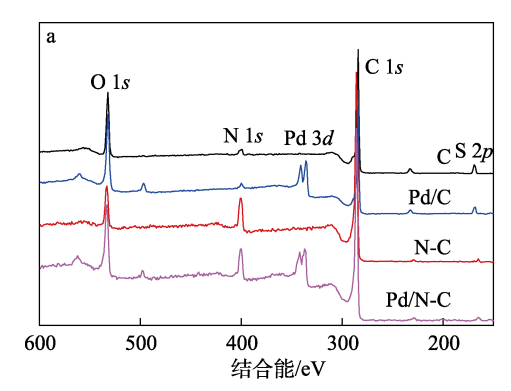
表 1 样品组成测试结果 Table 1 Results of sample composition analysis

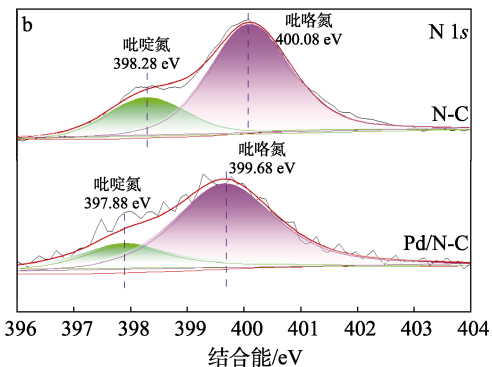
| 催化剂 | C 含量/ % [©] | N 含量/ % [©] | O 含量/ % [©] | Pd 含量/ % ^① | S 含量/ % [©] | Pd 含量/ % ² |
|--------|-------------------------|-------------------------|-------------------------|--------------------------|-------------------------|--------------------------|
| С | 71.38 | 0.36 | 27.91 | 0 | 0.35 | 0 |
| N-C | 69.97 | 6.45 | 23.34 | 0 | 0.24 | 0 |
| Pd/C | 69.27 | 0.32 | 27.68 | 2.42 | 0.31 | 0.98 |
| Pd/N-C | 70.71 | 4.79 | 21.93 | 2.37 | 0.20 | 0.96 |

①通过 XPS 测试的原子个数百分数;②通过 ICP 测试的元素质量分数。

2.4 XPS 分析

通过 XPS 对样品 C、N-C、Pd/C 和 Pd/N-C 的 表面原子间的相互作用进行探究,结果见图 4a 及表 1。





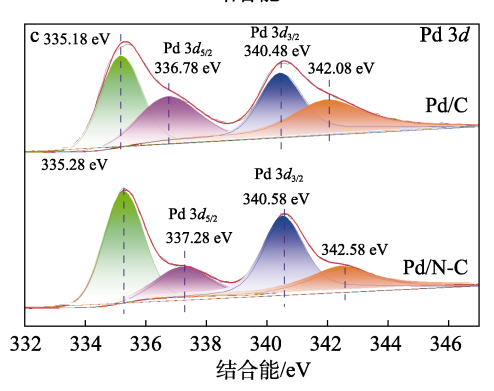


图 4 C、N-C、Pd/C 及 Pd/N-C 的 XPS 全谱(a); N-C 和 Pd/N-C 的 N 1s 高分辨 XPS 谱图(b); N-C 和 Pd/N-C 的 Pd 3d 高分辨 XPS 谱图(c)

Fig. 4 XPS full spectra of C, N-C, Pd/C and Pd/N-C (a); High-resolution N 1s XPS spectra of N-C and Pd/N-C (b); High-resolution Pd 3d XPS spectra of N-C and Pd/N-C (c)

由图 4a 及表 1 可知, C 载体及 Pd/C 上 N 元素 含量仅分别为 0.36%和 0.32%; 而 N-C 载体及 Pd/N-C 催化剂在结合能约为 400 eV 出现了明显的 N 1s 的 峰, 其含量分别为 6.45%和 4.79%, 证明了 N 的掺 杂,并且对比掺杂前后 S_{2p} , S_{2p} 量明显降低,但 含量均<0.35%, 表明 S 并未掺杂到载体中。N-C 和 Pd/C-N 中 N 元素的高分辨 N 1s 能谱,由图 4b 可知, N-C 和 Pd/N-C 中的 N 均有吡啶氮和吡咯氮的化学 态。其中, 吡啶氮含量要比吡咯氮少。N-C 中吡咯 氮和吡啶氮的结合能分别为 400.08 和 398.28 eV, 而在 Pd/N-C 中分别向着低结合能位移至 399.68 和 397.88 eV。这种结合能偏移的现象表明,催化剂 Pd/N-C 中的 N 与 Pd 之间存在一定的相互作用[21]。 Pd/C 和 Pd/N-C 中 Pd 元素高分辨的 Pd 3d XPS 能谱 见图 4c。由图 4c 可知, 无论是 Pd/C 还是 Pd/N-C, Pd 大部分是 0 价(Pd 3d3/2 在结合能 340.48 eV vs. 结 合能 340.58 eV 及 Pd 3d_{5/2} 在结合能 335.18 eV vs. 结 合能 335.28 eV), 其结合能仅向高结合能位移了 0.1 eV。而 Pd²⁺的结合能(Pd 3d_{3/2}在结合能 342.08 eV vs. 结合能 342.58 eV 及 Pd 3d5/2 在结合能 336.78 eV vs. 结合能 337.28 eV) 向高结合能位移了 0.5 eV。这种 结合能的位移现象是由于 Pd NPs 和 N 原子之间的 相互作用引起的[21-23]。

2.5 催化性能评价

以二苯基硅烷(1.25 mmol, 原料 I)与甲醇(2 mL)在 60 ℃下进行催化脱氢偶联反应为模型反应,反应式如下所示。催化剂的催化性能结果列于表 2。

表 2 二苯基硅烷与甲醇在不同催化剂下的脱氢偶联反应 Table 2 Dehydrogenation coupling reaction of diphenylsilane and methanol on different catalysts

| 序号 | 催化剂 | 时间/ min | 硅烷转 化率/% | Ⅱ 选择 性/% | Ⅲ选择 性/% |
|----|--------|------------|-------------|-------------|------------|
| 1 | 无 | 1440 | 0 | 0 | 0 |
| 2 | C | 1440 | 0 | 0 | 0 |
| 3 | N-C | 1440 | 2 | >99 | 0 |
| 4 | Pd/C | 40 | 41 | 90 | 10 |
| 5 | Pd/C | 60 | 64 | 82 | 18 |
| 6 | Pd/N-C | 40 | >99 | 79 | 21 |
| 7 | Pd/N-C | 60 | >99 | 0 | >99 |

由表 2 可知,在无催化剂和 C 载体作用下,脱 氢偶联反应 1440 min,硅烷转化率为 0,无任何产 物生成(序号 1~2);而在 N-C 载体作用下,脱氢偶 联反应 1440 min 后,反应转化率也只有 2%,产物 主要为产物Ⅱ(二苯基甲氧基硅烷,序号3),说明 N-C 载体对反应底物有一定的活化作用,与文献报 道的碱性位点能活化醇 O—H, 进而催化该反应— 致[21]; 仅使用 Pd/C 为催化剂, 反应 40 和 60 min 后, 硅烷转化率仅为41%和64%,且生成的产物中大部 分为产物Ⅱ,仅有少量的产物Ⅲ(二苯基二甲氧基 硅烷, 序号 4~5) 生成; 而 Pd/N-C 催化反应 40 min 后, 硅烷转化率可达到 99%以上 (序号 6), 且催化 反应 60 min 后, 生成目标产物Ⅲ的选择性和硅烷转 化率均>99%(序号7)。上述结果表明, N-C 载体有 助于提升 Pd 催化剂的催化活性[19]。同时,也说明 二苯基硅烷中-Si-H 并不是同时反应的。由于位 阻效应,产物Ⅱ催化生成最终产物Ⅲ的反应过程比 较慢,反应会优先将原料Ⅰ完全生成中间产物Ⅱ后, 再将中间产物Ⅱ转化成最终产物Ⅲ。

为进一步验证上述结论,考察了在 Pd/N-C 催化剂作用下,脱氢偶联反应中二苯基硅烷的转化率和产物Ⅲ的选择性随时间的变化,结果见图 5。

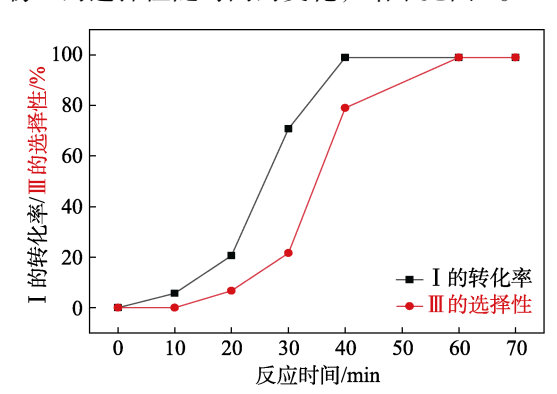


图 5 Pd/N-C 催化二苯基硅烷与甲醇脱氢偶联反应活性 Fig. 5 Pd/N-C catalytic dehydrogenation coupling of diphenylsilane and methanol

由图 5 可知,随着反应时间的延长,二苯基硅烷的转化率提高,当反应 40 min 时,二苯基硅烷的转化率达到了 99%。产物Ⅲ从反应 10 min 才开始生成,其选择性随着反应时间的增加而逐步增加,并在 60 min 时达到了 99%。这也进一步证明,该脱氢偶联反应首先生成中间产物 Ⅱ,再生成最终产物 Ⅲ。

为考察 Pd/N-C 催化剂的普适性,选择不同的硅烷和醇进行脱氢偶联制硅醚,结果如表 3 所示。由表 3 可知,采用不同的硅烷(二甲基苯基硅烷、二苯基硅烷、苯硅烷)和不同的醇(甲醇、乙醇、正丁醇、异丙醇)进行反应,Pd/N-C 催化剂都具有较优异的催化性能。仅含有 1 个 Si—H 的二甲基苯基硅烷与甲醇脱氢偶联反应,仅需 1 h 就能完全转化为最终产物,比其他的醇(需 3 h)反应更容易。随着醇中—R 和硅烷取代基的空间体积增大,其位阻效应越大,取代反应越难进行,如二苯基硅烷与甲

醇(1h)和乙醇(6h)均能得到最终2个Si—H完全偶联的产物,而二苯基硅烷与正丁醇或异丙醇反应24h后分别仅有52%和37%最终产物,其余为1个Si—H偶联产物;苯硅烷作为底物也有相同的结论。由此可知,Pd/N-C催化剂可以用于多种硅烷和醇脱氢偶联反应,但底物的空间位阻对催化性能有较大影响,可能与催化剂活性位点与反应物反应基团的碰撞概率有关。

表 3 不同硅烷和醇的脱氢偶联反应

Table 3 Dehydrogenative coupling reactions of different silanes and alcohols

| $R_{4-n}SiH_n + n$ | R'OH - | Pd/N- | C → | $R_{4-n}Si(R'O)_n$ | + nH ₂ | $(n = 1 \sim 3)$ |
|--------------------|--------|------------|-----------------|----------------------------|-----------------------------------|---------------------------------|
| 硅烷 | 醇 | 反应 时间/h | 硅烷 转化 率/% | 1 个 Si—H 的偶联产物 选择性/% | 2个 Si —H的 偶联产 物选择 性/% | 3 个 Si— H 的偶联 产物选择 性/% |
| 二甲基苯基硅烷 | 甲醇 | 1 | > 99 | > 99 | _ | _ |
| | 乙醇 | 3 | > 99 | > 99 | _ | _ |
| | 正丁醇 | 3 | > 99 | > 99 | _ | _ |
| | 异丙醇 | 3 | > 99 | > 99 | _ | _ |
| 二苯基硅烷 | 甲醇 | 1 | > 99 | 0 | > 99 | _ |
| | 乙醇 | 6 | > 99 | 0 | > 99 | _ |
| | 正丁醇 | 24 | > 99 | 48 | 52 | _ |
| | 异丙醇 | 24 | > 99 | 63 | 37 | _ |
| 苯硅烷 | 甲醇 | 2 | > 99 | 0 | 0 | > 99 |
| | 乙醇 | 12 | > 99 | 0 | 0 | > 99 |
| | 正丁醇 | 24 | > 99 | 0 | 44 | 56 |
| | 异丙醇 | 24 | > 99 | 0 | 60 | 40 |

注:"一"表示无此项。

基于上述结果和文献报道的碱性位点活化醇的 机理^[21,24],提出 Pd/N-C 催化硅烷与醇脱氢偶联的可能机理,如图 6 所示。

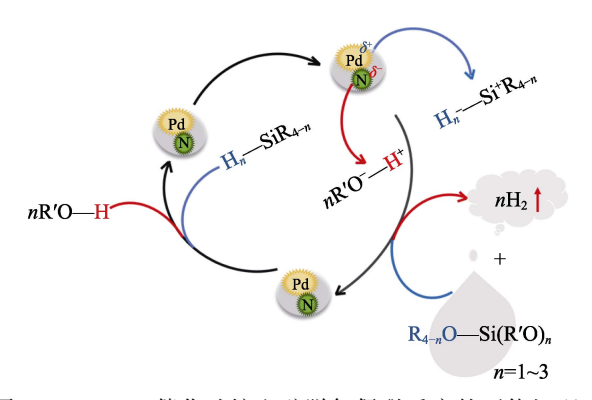


图 6 Pd/N-C 催化硅烷和醇脱氢偶联反应的可能机理示意图

Fig. 6 Schematic diagram of possible mechanism of Pd/N-C catalytic dehydrogenative coupling reaction of silanes with alcohols

图 6 表明, 醇的—O—H 被载体 N 原子激活而 断开, 生成 R'O⁻和 H⁺。原料硅烷中的—Si—H 在 Pd 激活下,断开—Si—H 键,生成 Pd··· H_n^- — $Si^{\dagger}R_{4-n}$ 。 最后还原分离步骤,生成硅醚和 H_2 。

为了验证 Pd/N-C 催化剂的稳定性,使用二苯基硅烷(10 mmol)和甲醇(16 mL)在60 ℃下反应6 h 后过滤,收集滤液和催化剂,重复使用5次,得到反应的转化率和选择性如图7所示。

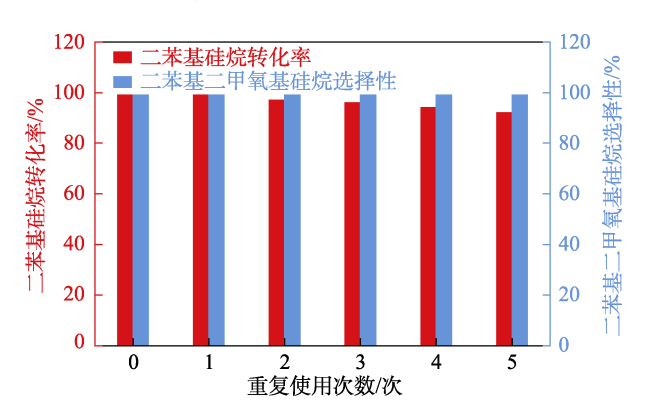


图 7 Pd/N-C 催化剂的重复使用性 Fig. 7 Reusability of Pd/N-C catalyst

由图 7 可知,在催化剂使用 6 次时,二苯基硅烷转化率仍能保持 92%以上,最终产物Ⅲ的选择性达 99%以上,证明其具有优异的催化活性和可重复使用性。

3 结论

本文以氮原子作为路易斯碱性位点,与 Pd 金属 粒子相互作用,制备了氮掺杂碳负载钯金属纳米粒 子(Pd/N-C)多相催化剂,考察了其在脱氢偶联制 硅醚反应中的催化性能。结论如下:

- (1)该催化剂载体存在丰富的氮原子掺杂,有益于与 Pd 纳米粒子相互作用,Pd 纳米粒子粒径较小[平均粒径为(4.87±1.10) nm],避免了 Pd NPs 的聚集。
- (2)Pd/N-C 催化剂具有优异的催化活性和循环稳定性。在 Pd/N-C 催化作用下,以 1.25 mmol 二苯基硅烷和 2 mL 甲醇(同时作为溶剂)为底物,在 60 ℃下反应 60 min 后,二苯基硅烷转化率和二苯基二甲氧基硅烷选择性均达 99%以上,并且催化剂重复使用 5次后仍有>92%的转化率及>99%的选择性。
- (3)以不同的硅烷和醇为反应底物, Pd/N-C都表现出优异的催化活性,表明该催化剂具有良好的普适性。
- (4)空间位阻对产物的选择性有影响,后期工作中可集中在催化剂空间位阻的调控。

参考文献:

- [1] FU J B (傅积赉). Organic silicon industry and its development in China[M]. Beijing: Chemical Industry Press (化学工业出版社), 2016.
- [2] YU D F (于丹凤), HUANG J S (黄佳胜), WU J Z (伍家忠), et al.

 The preparation and wear resistance property of double crosslinked

- waterproofing agent based on long chain alkane and silicon[J]. Fine Chemicals (精细化工), 2023, 40(3): 600-607.
- [3] KAMINO B A, BENDER T P. The use of siloxanes, silsesquioxanes, and silicones in organic semiconducting materials[J]. Chemical Society Reviews, 2013, 42(12): 5119-5130.
- [4] SINGH G, SHILPY, SINGH A, et al. Design, synthesis, drug-likeness and in silico prediction of polycyclic aromatic schiff base tethered organosilatranes[J]. Silicon, 2022, 15(2): 867-873.
 [5] DUAN S W, LI Z D, LIU Y T, et al. Preparation of robust diphenyl
- [5] DUAN S W, LI Z D, LIU Y T, et al. Preparation of robust diphenyl silicone elastomers with enhanced mechanical properties and thermalaging resistances by using phosphazene as catalyst[J]. Polymer, 2023, 272: 125855.
- [6] YANG X F, DONG H, WU C, et al. Synthesis and characterization of ethylhydrosilicone fluids as liquid cross-linking agents for the encapsulant of light emitting diodes[J]. Phosphorus, Sulfur, and Silicon, 2009, 184(11): 2870-2876.
- [7] CROUCH R D. Recent advances in silyl protection of alcohols[J]. Synthetic Communications, 2013, 43(17): 2265-2279.
- [8] ASHRAF M A, LIU Z L, LI C, et al. Recent advances in catalytic silylation of hydroxyl-bearing compounds: A green technique for protection of alcohols using Si—O bond formations[J]. Applied Organometallic Chemistry, 2021, 35(3): e6131.
- [9] KRÜGER A, ALBRECHT M. Rhodium carbene complexes as versatile catalyst precursors for Si—H bond activation[J]. Chemistry-A European Journal, 2012, 18(2): 652-658.
- [10] BARUAH A M, KARMAKAR A, BARUAH J B. Polymorphs of octaphenylcyclotetrasiloxane[J]. ACS Symposium, 2010, 1051: 19-25.
- [11] LIAO L (廖立), YAN L (颜岭), WANG H D (王海栋), et al. Preparation method of diphenyldimethoxysilane by continuous alcoholysis method: CN113387978 A[P]. 2021-09-14.
- [12] YANG X L (杨秀莲). Environmentally-friendly preparation method of diphenyldimethoxysilane: CN109021007A[P]. 2018-12-18.
- [13] KAŹMIERCZAK J, KUCIŃSKI K, LEWANDOWSKI D, *et al.* Ru-catalyzed dehydrogenative silylation of POSS-silanols with hydrosilanes: Its introduction to one-pot synthesis[J]. Inorganic Chemistry, 2019, 58(2): 1201-1207.
- [14] GUTSULYAK D V, VYBOISHCHIKOV S F, NIKONOV G I. Cationic silane σ-complexes of ruthenium with relevance to catalysis[J]. Journal of the American Chemical Society, 2010, 132(17): 5950-5951.

- [15] GONZÁLEZ-FERNÁNDEZ R, CROCHET P, CADIERNO V. Half-sandwich ruthenium (II) complexes with tethered arene-phosphinite ligands: Synthesis, structure and application in catalytic cross dehydrogenative coupling reactions of silanes and alcohols[J]. Dalton Transactions, 2020, 49(1): 210-222.
- [16] RAFFA P, EVANGELISTI C, VITULLI G, et al. First examples of gold nanoparticles catalyzed silane alcoholysis and silylative pinacol coupling of carbonyl compounds[J]. Tetrahedron Letters, 2008, 49(20): 3221-3224.
- [17] SORRIBES I, VENTURA-ESPINOSA D, ASSIS M, et al. Unraveling a biomass-derived multiphase catalyst for the dehydrogenative coupling of silanes with alcohols under aerobic conditions[J]. ACS Sustainable Chemistry & Engineering, 2021, 9(7): 2912-2928.
- [18] LI L Y, LI Z X, YANG W J, et al. Integration of Pd nanoparticles with engineered pore walls in MOFs for enhanced catalysis[J]. Chem, 2021, 7(3): 686-698.
- [19] WANG H R (王和荣), LIU S Q (刘森群), CHEN J Y (陈家尧), et al. Pd-supported hydroxyl porous organic polymers for catalysis on dehydrogenation coupling reaction of silanes and alcohols[J/OL]. Fine Chemicals (精细化工), 2024. DOI: 10.13550/j.jxhg.20240146.
- [20] WU S H, SU T T, LIU S Q, et al. Charge modified porous organic polymer stabilized ultrasmall platinum nanoparticles for the catalytic dehydrogenative coupling of silanes with alcohols[J]. Catalysis Letters, 2021, 152(6): 1711-1718.
- [21] LIU S Q, SHI S L, DING S M, et al. Imidazole functionalized porous organic polymer stabilizing palladium nanoparticles for the enhanced catalytic dehydrogenative coupling of silanes with alcohols[J]. ChemistrySelect, 2022, 7(40): e202203056.
- [22] ZHOU X K (周雪珂), ZHOU Z Y (周志颖), ZHOU C (周灿), *et al.* Solvent-free hydrogenation of nitrobenzene to aniline catalyzed by Pd/rGO[J]. Fine Chemicals (精细化工), 2022, 39(1): 127-134.
- [23] YUAN Q X (袁倩星), CHEN W M (陈维民), LYU X R (吕新荣), et al. Preparation and methanol electrooxidation performance of Pd-Co/CNT composite catalysts[J]. Fine Chemicals (精细化工), 2023, 40(2): 365-370.
- [24] VORONOVA E D, GOLUB I E, PAVLOV A, *et al.* Dichotomous Si—H bond activation by alkoxide and alcohol in base-catalyzed dehydrocoupling of silanes[J]. Inorganic Chemistry, 2020, 59(17): 12240-12251.

(上接第1993页)

- [2] CHEN S J, ZHAO H J, CHEN S Y, et al. Camphor leaves extract as a neoteric and environment friendly inhibitor for Q235 steel in HCl medium: Combining experimental and theoretical researches[J]. Journal of Molecular Liquids, 2020, 312: 113433.
- [3] PAN L, LI G X, WANG Z Y, et al. Carbon dots as environment-friendly and efficient inhibitors for Q235 steel in 1 M HCl[J]. Langmuir: The ACS Journal of Surfaces and Colloids, 2021, 37(49): 14336-14344.
- [4] MAO J W, HE X H, TANG Y M. Role of heteroatoms in the adsorption of thiazole on Cu(III) surface: First principles study[J]. Science 2019, 148: 171-177
- [5] WU Y D, GUO L, TAN B C, et al. 5-Mercapto-1-phenyltetrazole as a high-efficiency inhibitor for Q235 steel in acidic environment[J]. Journal of Molecular Liquids, 2021, 325: 115132.
- [6] PANG L, WANG Z B, LU M H, et al. Inhibition performance of benzimidazole derivatives with different heteroatoms on the underdeposit of carbon steel in CO₂-saturated solution[J]. Science, 2021, 192: 109841
- [7] ZHANG F Y, LIU W Q, LIU C H, et al. Rational design of non-hazardous phytic acid-functionalized graphene oxide for polymer nanocomposites toward reinforcing resistance performance applications[J]. Colloids and Surfaces A: Physicochemical and Engineering Aspects, 2021, 617: 126390.
- [8] PANG H W (庞惠文), LI X (李响), ZOU Y N (邹亚男), et al. Analysis on research progress of epoxy resin anticorrosion coatings for metal equipment[J]. Materials Protection (材料保护), 2023, 56(12): 148-156.
- [9] SITU Y, GUO Y L, JI W W, et al. Polyaniline encapsulated α-zirconium phosphate nanosheet for enforcing anticorrosion performance of epoxy coating[J]. Journal of Coatings Technology and Research, 2021, 18: 999-1012.
- [10] HUANG X Q (黄小庆), YANG J J (杨建军), CHEN C J (陈春俊), et al. Research progress on functional epoxy-based anti-corrosion[J]. Fine Chemicals (精细化工), 2023, 40(8): 1625-1635.

- [11] GAO X, YAN R, LYU Y J, et al. In situ pretreatment and self-healing smart anti-corrosion coating prepared through eco-friendly waterbase epoxy resin combined with non-toxic chelating agents decorated biomass porous carbon[J]. Journal of Cleaner Production, 2020, 266: 121920.
- [12] YAO H R (姚红蕊), YIN X (尹旭), WANG N (王娜), *et al.* Progress in the application of two-dimensional nanomaterials in the field of metal anticorrosion[J]. Materials Reports (材料导报), 2022, 36(10): 31-39.
- [13] WU Y M, YU J J, ZHAO W J, et al. Investigating the anti-corrosion behaviors of the waterborne epoxy composite coatings with barrier and inhibition roles on mild steel[J]. Progress in Organic Coatings, 2019, 133: 8-18.
- [14] LI Y, YANG H, WANG F Q, et al. Superior anticorrosion performance of epoxy-based composites with well - dispersed melamine modified graphene oxide[J]. Journal of Applied Polymer Science, 2021, 138(8): 49866.
- [15] MUFLIKHAH, SUPARNO N, LBS W Z, et al. The impact of reaction time on the hierarchical structure of mesoporous silica synthesized via modified stöber method[J]. Journal of Porous Materials, 2024, 31(3): 969-977.
- [16] NOROUZI M, ELHAMIFAR D, MIRBAGHERI R. Phenylene-based periodic mesoporous organosilica supported melamine: An efficient, durable and reusable organocatalyst[J]. Microporous and Mesoporous Materials, 2019, 278: 251-256.
- [17] ZHAO M, MENG L H, MA L C, et al. Interfacially reinforced carbon fiber/epoxy composites by grafting melamine onto carbon fibers in supercritical methanol[J]. RSC Advances, 2016, 6(35): 29654-29662.
- [18] LI Y, YANG H, WANG F Q, et al. Fabrication and anti-corrosion properties of melamine-treated graphene oxide adsorbed on copper[J]. Progress in Organic Coatings, 2020, 141: 105564
- [19] ELMI F, GHARAKHANI A, GHASEMI S, et al. Self-assemble L-glycine and L-cysteine/polydopamine nanohybrid films coated on 304 stainless steel for corrosion study in sterile seawater[J]. Progress in Organic Coatings, 2018, 119: 127-137.